

Поверхность *прямоугольника* (прямоугольного параллелепипеда) *кусочно гладкая*, но не гладкая.

Отметим, что гладкая поверхность определена нами так, что она есть по терминологии главы 17 двумерное дифференцируемое многообразие в  $R_3$ .

### § 7.20. Гладкая поверхность, заданная параметрически. Ориентируемая поверхность

Мы уже знаем, что гладкая поверхность может быть определена в явном (см., например, § 7.19, (1)) или неявном [см. § 7.19, (3)] виде. Больше того, произвольная гладкая поверхность по самому своему определению всегда локально выражается явно. Существует еще важный способ задания гладких поверхностей — *параметрический*.

Наряду с трехмерным пространством  $R$ , где задана прямоугольная система координат  $(x, y, z)$ , введем еще плоскость  $W$  параметров  $u, v$ , где задана прямоугольная система координат  $(u, v)$ . Пусть  $\Omega \subset W$  — открытое множество и на нем заданы три функции от параметров  $u, v$

$$x = \varphi(u, v), \quad y = \psi(u, v), \quad z = \chi(u, v) \quad ((u, v) \in \Omega) \quad (1)$$

или, что все равно, векторная функция

$$\mathbf{r} = \varphi\mathbf{i} + \psi\mathbf{j} + \chi\mathbf{k}. \quad (2)$$

Будем предполагать, что функции  $\varphi, \psi, \chi$  имеют непрерывные частные производные на  $\Omega$  и что выполняется неравенство

$$|\mathbf{r}_u \times \mathbf{r}_v|^2 = \left(\frac{D(x, y)}{D(u, v)}\right)^2 + \left(\frac{D(y, z)}{D(u, v)}\right)^2 + \left(\frac{D(z, x)}{D(u, v)}\right)^2 > 0 \quad ((u, v) \in \Omega). \quad (3)$$

Геометрическое место  $S$  точек  $(x, y, z)$ , определяемое функциями (1), называют *поверхностью*. При этом тот факт, что  $S$  задана функциями (1) с указанными свойствами, мы будем выражать так: *поверхность  $S$  гладко задана параметрами  $(u, v) \in \Omega$* .

Не всегда поверхность  $S$ , гладко заданная при помощи параметров, есть гладкая поверхность (дифференцируемое многообразие) в том смысле, как этот последний термин определен в предыдущем параграфе, но можно дать простой достаточный критерий для этого.

Именно, если уравнения (1) устанавливают взаимно однозначное соответствие  $\Omega \ni (u, v) \rightleftharpoons (x, y, z) \in S$ , то система функций (1) определенных на любой области  $\Omega' \subset \Omega \subset \Omega$ , описывает гладкую поверхность (дифференцируемое многообразие).

Мы не доказываем здесь это утверждение. Оно не будет нужно для ближайших наших целей. Впрочем, оно доказано, даже в более общем виде, во II томе (см. § 17.1 лемма 1).

Отметим важный факт, вытекающий из неравенства (3). Пусть  $(u^0, v^0) \in \Omega$  — произвольная фиксированная точка области пара-

метров. Для нее один из определителей, входящих в (3), положителен, пусть для определенности первый. Тогда найдется окрестность  $\omega \subset \Omega$  этой точки такая, что на ней первые два уравнения (1) однозначно разрешимы относительно  $(u, v)$ . Подставив соответствующие функции от  $x, y$  в третье уравнение, получим, что некоторый кусок  $\sigma \subset S$  описывается непрерывно дифференцируемой функцией  $z = f(x, y)$ ,  $\lambda \ni (x, y) \ni (u, v) \in \omega$ .

Этим доказано, что, какова бы ни была точка  $(u^0, v^0)$ , существует ее окрестность  $\omega \subset \Omega$  такая, что соответствующий ей кусок  $\sigma \subset S$  проектируется (взаимно однозначно!) по крайней мере на одну из координатных плоскостей. Это локальное свойство поверхности, гладко заданной через свои параметры, является очень важным, но следует иметь в виду, что оно слабее того свойства, которому должна удовлетворять гладкая поверхность (дифференцируемое двумерное многообразие в пространстве  $R_3$ ), как она была определена в предыдущем параграфе (см. пример 1).

**Пример 1.** На рис. 7.5 изображена поверхность  $S$ , которую можно себе представить как полученную из прямоугольного листка  $\Delta$  бумаги ( $0 < u < a$ ,  $0 < v < b$ ) (рис. 7.6), который мы гладко скручиваем, позволив самопересечение по отрезкам  $u = u_1$  и  $u = u_2$ . Реально такую поверхность можно осуществить, разрезав листок  $\Delta$  на две части по прямой  $u = u_2$ , скрутив одну из частей и приклеив вторую часть так, как на рис. 7.5. Произвольной точке  $S$  припишем в качестве ее параметров  $(u, v)$  координаты соответствующей точки прямоугольника  $\Delta$ . Но каждая точка отрезка  $CD \subset S$  при этом будет соответствовать двум парам  $(u_1, v)$

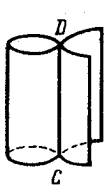


Рис. 7.5.

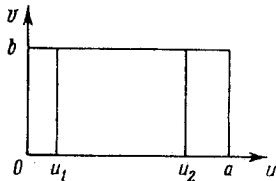


Рис. 7.6.

и  $(u_2, v)$ . Благодаря этому  $S$  может быть названа самопересекающейся (параметрически заданной) поверхностью. С точки зрения терминологии, принятой нами в предыдущем параграфе, поверхность  $S$  не является гладкой: любой прямоугольник (прямоугольный параллелепипед) с центром в какой-либо точке  $P \in [C, D]$  вырезает из  $S$  часть, не проектирующуюся ни на одну из координатных плоскостей. С другой стороны, определенную точку  $P \in [C, D]$  можно считать соответствующей двум точкам  $(u_1, v_0)$  и  $(u_2, v_0)$  плоскости  $(u, v)$ . Обе они могут быть покрыты настолько малыми, принадлежащими плоскости  $(u, v)$ , кружками с центрами в них, что им соответствуют куски  $\sigma_1, \sigma_2 \subset S$ , каждый из которых проектируется по крайней мере на одну из координатных плоскостей.

Интересно еще рассмотреть поверхность  $S' \subset S$ , соответствующую параметрам  $(u, v)$ , пробегающим прямоугольник  $\Delta' = \{0 < u < u_2, 0 < v < b\}$ . Из рис. 7.5 видно, что  $S'$  есть параметрически заданная поверхность без самопересечений: имеет место взаимно однозначное соответствие  $S' \ni \Delta'$ . Но все равно точки  $P \in [C, D]$  являются особенными для  $S'$ : в любых как угодно малых (трехмерных) окрестностях  $\Omega$  таких точек принадлежащие им части  $S'\Omega$  не проектируются ни на одну из координатных плоскостей. Таким образом,  $S'$ , так же, как  $S$ , не является гладкой поверхностью.

Интересно еще рассмотреть поверхность  $S' \subset S$ , соответствующую параметрам  $(u, v)$ , пробегающим прямоугольник  $\Delta' = \{0 < u < u_2, 0 < v < b\}$ . Из рис. 7.5 видно, что  $S'$  есть параметрически заданная поверхность без самопересечений: имеет место взаимно однозначное соответствие  $S' \ni \Delta'$ . Но все равно точки  $P \in [C, D]$  являются особенными для  $S'$ : в любых как угодно малых (трехмерных) окрестностях  $\Omega$  таких точек принадлежащие им части  $S'\Omega$  не проектируются ни на одну из координатных плоскостей. Таким образом,  $S'$ , так же, как  $S$ , не является гладкой поверхностью.

**З а м е ч а н и е.** По другой терминологии гладкой поверхностью  $S'$  называют совокупность точек  $(x, y, z)$ , упорядоченную при помощи парамет-

ров  $(u, v)$  посредством равенств (1), где  $\varphi, \psi, \chi$  — непрерывно дифференцируемые функции, подчиняющиеся неравенству (3). Согласно этой терминологии точки  $(x, y, z)$ , соответствующие разным парам  $(u, v)$ , считаются разными элементами  $S$ , хотя, быть может, эти элементы определяют одну и ту же геометрическую точку  $(x, y, z)$ .

Заменим параметры  $(u, v)$  поверхности  $S$  параметрами  $(u', v')$ ;

$$u = \lambda(u', v'), \quad v = \mu(u', v') \quad ((u', v') \in \Omega' \neq \Omega), \quad (4)$$

где  $\lambda$  и  $\mu$  — непрерывно дифференцируемые функции с якобианом

$$\frac{D(u', v')}{D(u, v)} \neq 0 \quad ((u, v) \in \Omega'), \quad (5)$$

а отображение (4) приводит во взаимно однозначное соответствие открытое множество  $\Omega'$  параметров  $(u', v')$  с открытым же (см. § 7.18) множеством  $\Omega$  параметров  $(u, v)$ . В результате получим уравнения  $S$ , выраженные через параметры  $(u', v')$ :

$$\left. \begin{aligned} x &= \varphi_1(u', v') = \varphi(\lambda(u', v'), \mu(u', v')), \\ y &= \psi_1(u', v') = \psi(\lambda(u', v'), \mu(u', v')), \\ z &= \chi_1(u', v') = \chi(\lambda(u', v'), \mu(u', v')) \quad ((u', v') \in \Omega'), \end{aligned} \right\} \quad (6)$$

где  $\varphi_1, \psi_1, \chi_1$  — функции, непрерывно дифференцируемые на  $\Omega'$ , и где выполняются неравенства

$$\begin{aligned} |\dot{\mathbf{r}}_{u'} \times \dot{\mathbf{r}}_{v'}|^2 &= \left( \frac{D(x, y)}{D(u', v')} \right)^2 + \left( \frac{D(y, z)}{D(u', v')} \right)^2 + \left( \frac{D(z, x)}{D(u', v')} \right)^2 = \\ &= |\dot{\mathbf{r}}_u \times \dot{\mathbf{r}}_v| \left( \frac{D(u, v)}{D(u', v')} \right)^2 > 0 \quad ((u', v') \in \Omega'). \quad (7) \end{aligned}$$

Новые параметры  $(u', v')$  с указанными выше свойствами мы будем называть *допустимыми параметрами поверхности  $S$* .

Рассмотрим гладкую поверхность  $S$ , заданную параметрически при помощи уравнений (1) с указанными там свойствами. В любой точке она имеет касательную плоскость и нормаль. Чтобы получить выражение для нормали в терминах вектора  $\mathbf{r} = \varphi\mathbf{i} + \psi\mathbf{j} + \chi\mathbf{k}$ , можно рассуждать следующим образом.

Вектор  $\mathbf{r} = \mathbf{r}(u, v)$  при фиксированном значении параметра  $v$  описывает кривую, соответствующую изменению параметра  $u$ . Вектор  $\dot{\mathbf{r}}_u$  направлен по касательной к этой кривой. Аналогично вектор  $\dot{\mathbf{r}}_v$  направлен по касательной к другой кривой, которая описывается вектором  $\mathbf{r}$ , когда  $u$  фиксировано, а  $v$  меняется.

Если считать векторы  $\dot{\mathbf{r}}_u, \dot{\mathbf{r}}_v$  выходящими из точки  $(u, v)$  поверхности  $S$ , то они определяют проходящую через них плоскость, касательную к  $S$  в точке  $(u, v)$ . Из условия (3) следует, что векторы  $\dot{\mathbf{r}}_u, \dot{\mathbf{r}}_v$  не коллинеарны. Нормаль к  $S$  в точке  $u, v$  определяется

вектором

$$\dot{\mathbf{r}}_u \times \dot{\mathbf{r}}_v = \left( \frac{\partial \psi}{\partial u} \frac{\partial \chi}{\partial v} - \frac{\partial \psi}{\partial v} \frac{\partial \chi}{\partial u} \right) \mathbf{i} + \left( \frac{\partial \chi}{\partial u} \frac{\partial \varphi}{\partial v} - \frac{\partial \chi}{\partial v} \frac{\partial \varphi}{\partial u} \right) \mathbf{j} + \left( \frac{\partial \varphi}{\partial u} \frac{\partial \psi}{\partial v} - \frac{\partial \varphi}{\partial v} \frac{\partial \psi}{\partial u} \right) \mathbf{k}. \quad (8)$$

При этом можно определить две единичные, непрерывно зависящие от  $(u, v) \in \Omega$  нормали:

$$\mathbf{n} = \pm \frac{\dot{\mathbf{r}}_u \times \dot{\mathbf{r}}_v}{|\dot{\mathbf{r}}_u \times \dot{\mathbf{r}}_v|} \quad ((u, v) \in \Omega). \quad (9)$$

Знаку «+» соответствует одна сторона поверхности  $S$  со щеткой выпущенных в ее сторону единичных векторов, непрерывно зависящих от  $(u, v)$ , а знаку «-» — другая сторона  $S$ .

Дадим следующее определение. Если из каждой точки  $A$  гладкой поверхности  $S$  можно выпустить единичную нормаль  $\mathbf{n}(A)$  так, что полученная векторная функция от  $A$  будет непрерывной на всей поверхности  $S$ , то  $S$  называется *ориентируемой поверхностью*.

Поверхность, для которой определена такая функция  $\mathbf{n}(A)$ , называется *ориентированной* [при помощи  $\mathbf{n}(A)$ ]. Если мы будем говорить, что  $S$  есть ориентированная гладкая поверхность, то тем самым будем считать, что  $S$  обозначает не только поверхность (множество), но и тот факт, что на ней задана указанная непрерывная на  $S$  функция  $\mathbf{n}(A)$ . Говорят еще, что функция  $\mathbf{n}(A)$  задает определенную сторону ориентируемой гладкой поверхности [куда выходит из  $S$  щетка единичных векторов  $\mathbf{n}(A)$ , непрерывно зависящих от  $A$ ].

Ту же поверхность, но ориентированную противоположным образом, надо уже обозначать другой буквой. Две такие противоположно ориентированные поверхности удобно обозначать буквами  $S_+$  и  $S_-$ . Одна из них произвольно обозначается через  $S_+$ , а другая автоматически получает обозначение  $S_-$ .

Шаровая поверхность ориентируема — выпущенный из какой-либо ее точки единичный вектор во вне шара, очевидно, непрерывно продолжается на всю поверхность. Этим шаровая поверхность ориентирована. Другая, противоположная, ориентация шаровой поверхности определяется единичным нормальным к ней вектором, направленным внутрь соответствующего шара.

Выше мы видели, что если  $S$  есть гладкая поверхность, определенная параметрически уравнениями (1) с указанными там свойствами, то она ориентируема. Знаку «+» в формуле (9) соответствует некоторая ориентация  $S$ , а знаку «-» будет тогда соответствовать противоположная ориентация.

Вообще же существуют гладкие поверхности, неориентируемые (см. следующий параграф).

После сказанного можно утверждать, что *всякая неориентируемая гладкая поверхность не может быть задана параметрически при помощи единой системы уравнений (1) с указанными там ограничениями, налагаемыми на функции  $\varphi, \psi, \chi$ .*

С другой стороны, мы знаем, что если  $S$  есть гладкая поверхность, то по самому ее определению для каждой ее точки  $A_0$  найдется прямоугольник  $\Delta$  с центром в ней, вырезающий из  $S$  кусок  $\sigma$ , описываемый явно функцией, пусть  $z = f(x, y)$ ,  $(x, y) \in \Delta'$ , непрерывно дифференцируемой на соответствующей проекции  $\Delta$ . Ясно, что кусок  $\sigma$  имеет две стороны, определяемые нормалью  $\mathbf{n} = (n_x, n_y, n_z)$ , где

$$n_x = \mp \frac{p}{\sqrt{1+p^2+q^2}}, \quad n_y = \mp \frac{q}{\sqrt{1+p^2+q^2}}, \quad n_z = \pm \frac{1}{\sqrt{1+p^2+q^2}},$$

$$\left( p = \frac{\partial f}{\partial x}, \quad q = \frac{\partial f}{\partial y} \right).$$

Верхним знаком в этих равенствах соответствует верхняя сторона куска  $\sigma$ , а нижним — нижняя сторона.

Поэтому можно сказать, что *всякая гладкая поверхность локально ориентируема.*

**Пример 2.** Шаровая поверхность. Уравнения (см. § 12.19)

$$x = R \cos \theta \cos \varphi, \quad y = R \cos \theta \sin \varphi, \quad z = R \sin \theta, \quad -\infty < \theta, \varphi < \infty, \quad (10)$$

где  $R > 0$  — заданное число, определяют при помощи полярных угловых параметров  $\theta, \varphi$  шаровую поверхность  $S$  радиуса  $R$  с центром в нулевой точке, в чем легко убедиться, если исключить из этих уравнений  $\theta$  и  $\varphi$ .

Область  $G$  изменения параметров  $(\theta, \varphi)$  является вся плоскость. Правые части уравнений (10) — непрерывно дифференцируемые функции от  $\theta, \varphi$ . Вычисления показывают, что

$$|\mathbf{r}_\theta \times \mathbf{r}_\varphi| = R^2 |\cos \theta|. \quad (11)$$

Из (11) мы видим, что нельзя сказать, что шаровая поверхность  $S$  задана гладко параметрами  $\theta, \varphi$  на всей плоскости этих параметров. Из последней надо исключить точки  $(\theta, \varphi)$ , у которых  $\cos \theta = 0$ . Но это недостаток не поверхности, а ее параметрического представления. Как мы знаем (см. предыдущий параграф),  $S$  есть гладкая поверхность и ее полюсы, соответствующие значениям  $\theta = \pm \pi/2$ , не являются исключительными.

Параметрическое представление (10) самопересекается потому, что мы не ограничили в нем множество параметров. Более экономно считать его заданным на множестве  $-\pi/2 < \theta < \pi/2, a \leq \varphi < a + 2\pi$ , где  $a$  — некоторое действительное число. Это множество при помощи (10) отображается взаимно однозначно на шаровую поверхность  $S$ , из которой выколоты два ее полюса. На этом множестве  $|\mathbf{r}_\theta \times \mathbf{r}_\varphi| > 0$ .

**Пример 3.** Тор. В плоскости  $(x, y)$  зададим окружность радиуса  $a$  с центром в точке  $(b, 0)$  ( $0 < a < b$ ). Вращение ее как твердого тела в пространстве  $(x, y, z)$  вокруг оси  $y$  приводит к поверхности  $T$ , называемой *тором*. Пусть  $\theta$  есть величина угла, изображенного на рис. 7.7, и  $\varphi$  — угол,

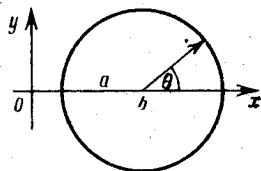


Рис. 7.7.

на который повернута вокруг оси  $y$  плоскость нашей окружности. Поверхность  $T$  выражается через параметры  $(\theta, \varphi)$  так:

$$x = (b + a \cos \theta) \cos \varphi, \quad y = a \sin \theta, \quad z = (b + a \cos \theta) \sin \varphi$$

$$(0 \leq \theta, \varphi < 2\pi). \quad (12)$$

В декартовых координатах уравнение  $T$  имеет вид

$$\Phi = (\sqrt{x^2 + z^2} - b)^2 + y^2 - a^2 = 0.$$

При этом на  $T$

$$\left(\frac{\partial \Phi}{\partial x}\right)^2 + \left(\frac{\partial \Phi}{\partial y}\right)^2 + \left(\frac{\partial \Phi}{\partial z}\right)^2 = 4(\sqrt{x^2 + z^2} - b)^2 + 4y^2 > 0.$$

Это показывает (см. § 7.19), что  $T$  есть гладкая поверхность, что, впрочем интуитивно очевидно.

### § 7.21. Пример неориентируемой поверхности. Лист Мёбиуса \*)

Возьмем прямоугольный лист бумаги (рис. 7.8), который мы будем мыслить без отрезков  $aa'$ ,  $bb'$ , составляющих части его границ. Перекрутим его один раз и его стороны  $ab$  и  $a'b'$  склеим так, чтобы точки  $a$ ,  $b'$  и  $b$ ,  $a'$  склеились попарно (рис. 7.9). Полученная поверхность есть *лист Мёбиуса*. Интуитивно ясно, что это будет гладкая поверхность, если скручивать листок гладко, не ломая бумаги. Не так уж трудно, хотя и несколько громоздко, осуществить такую конструкцию при помощи формул, но мы это не будем делать, полагаясь на интуицию читателя. На рис. 7.8 отмечен отрезок  $cc'$  — средняя линия прямоугольного листа бумаги. Этой линии на листе Мёбиуса соответствует замкнутая кривая  $cc'$  (не изображенная на рис. 7.9), у которой точки  $c$  и  $c'$  слились

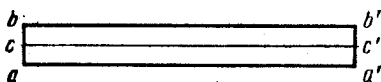


Рис. 7.8.



Рис. 7.9.

в одну точку. Выпустим из  $c$  единичную нормаль  $\mathbf{n}(c)$  произвольным, но определенным образом. Раз направление  $\mathbf{n}(c)$  выбрано (среди двух возможных), то этим уже детерминированно определяется выбор  $\mathbf{n}(A)$  для всех точек  $A \in cc'$ , если мы хотим, чтобы вектор  $\mathbf{n}(A)$  непрерывно зависел от  $A$ . Однако в точке  $c'$  вектор  $\mathbf{n}(c')$  уже выбран — ведь  $c$  и  $c'$  совпадают. Легко видеть, что если точку средней линии прямоугольника непрерывно двигать от  $c$  к  $c'$ , то единичная нормаль  $\mathbf{n}(A)$ , где  $A$  — точка листа Мёбиуса, соответствующая  $c$ , будет стремиться к  $-\mathbf{n}(c)$ , а не к  $\mathbf{n}(c)$ , и, следовательно, вектор-функция  $\mathbf{n}(A)$  оказывается разрывной в точке  $c = c' \in S$ .

\*) А. Ф. Мёбиус (1790—1868) — немецкий геометр.